



FAG

22234-E1A-XL-K-M

Радиальный сферический роликоподшипник

Радиальный сферический роликоподшипник 222...-E1A-XL-K-M, симметричный, 2 наружных борта

X-life

Техническая информация

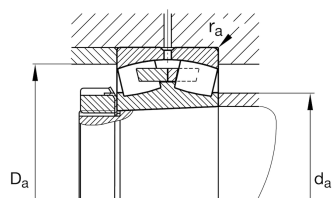


Ваш текущий вариант продукта

Design	E1A	Without central rip
Исполнение отверстия	K	Коническое, 1:12
Cage	M	Латунный сепаратор
Радиальный зазор	CN (Group N)	Normal internal clearance
Relubrication	Standard	Стандарт

Основные размеры и рабочие характеристики

d	170 mm	Диаметр отверстия
D	310 mm	Наружный диаметр
B	86 mm	Ширина
C _r	1.320.000 N	Динамическая грузоподъемность, радиальная
C _{0r}	1.570.000 N	Статическая грузоподъемность, радиальная
C _{ur}	144.000 N	Предел усталостной нагрузки, радиальный
n _G	2.550 1/min	Предельная частота вращения
n _{gr}	1.780 1/min	Номинальная тепловая частота вращения
m	27 kg	Вес





Присоединительные размеры

$d_{a \min}$	187 mm	Мин. диаметр заплечика вала
$D_{a \max}$	293 mm	Макс. диаметр заплечика корпуса
$r_{a \max}$	3 mm	Макс. радиус галтели
$d_{a \max}$	199 mm	Макс. диаметр заплечика вала
$d_{b \min}$	180 mm	Мин. диаметр под втулку
$B_{a \min}$	10 mm	Мин. глубина под втулку

Габаритные размеры

r_{\min}	4 mm	Мин. размер монтажной фаски
D_1	275,4 mm	Диаметр отверстия наружного кольца
d_2	199,8 mm	Диаметр дорожки качения внутреннего кольца
d_s	9,5 mm	Диаметр смазочного отверстия
n_s	17,7 mm	Ширина смазочной канавки

Диапазон температур

T_{\min}	-30 °C	Мин. рабочая температура
T_{\max}	200 °C	Макс. рабочая температура

Коэффициенты для расчета

e	0,26	Предельное значение F_a/F_r для применимости различн. значений коэффициентов X и Y
Y_1	2,6	Динамический коэффициент осевой нагрузки
Y_2	3,87	Динамический коэффициент осевой нагрузки
Y_0	2,54	Статический коэффициент осевой нагрузки

Дополнительная информация

H3134	Закрепительная втулка
АН3134А	Стяжная втулка



Характеристики



Радиальная нагрузка



Осевая нагрузка в одном направлении



Осевая нагрузка в обоих направлениях



Смазывание пластичной смазкой



Смазывание маслом



Без уплотнений



Динамические угловые и линейные несоосности